

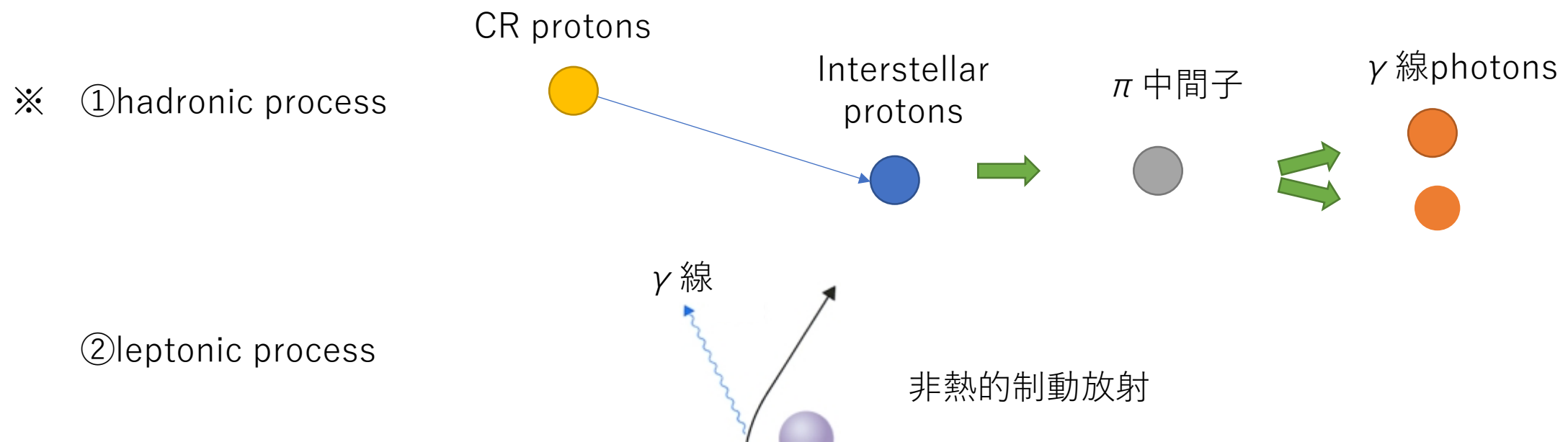
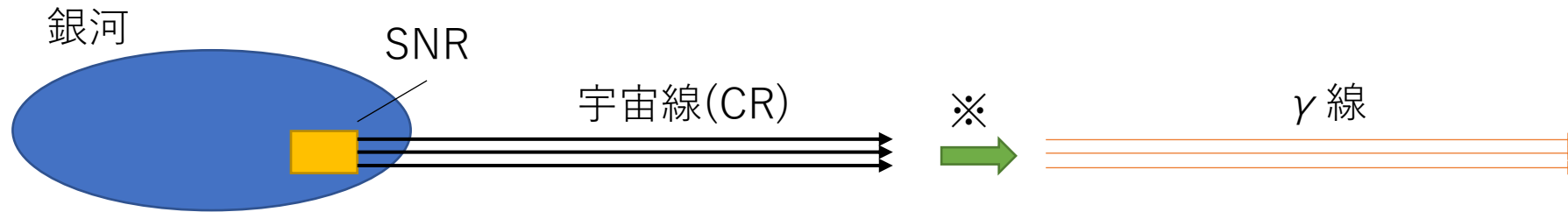
# Discovery of molecular and atomic clouds associated with the gamma-ray supernova remnant Kesteven 79

M. Kuriki, H. Sano, N. Kuno, M. Seta, Y. Yamane, T. Inaba, T. Nagaya, S. Yoshiike, K. Okawa, D. Tsutsumi, Y. Hattori, M. Kohno, S. Fujita, A. Nishimura, A. Ohama, M. Matsuo, Y. Tsuda, K. Torii, T. Minamidani, T. Umemoto, G. Rowell, A. Bamba, K. Tachihara, Y. Fukui

# Abstract

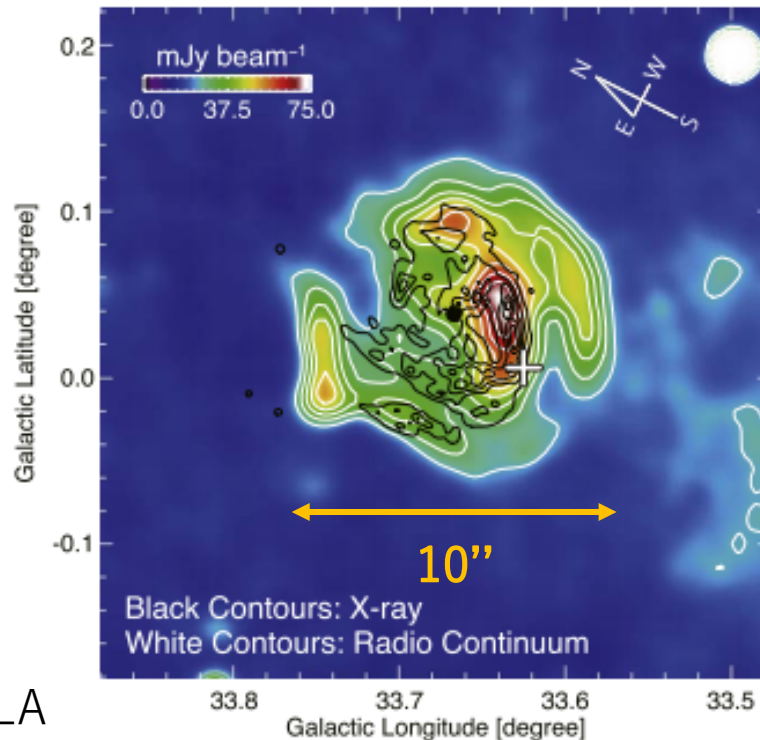
- 野辺山45m望遠鏡(20")を用いてKesteven79(超新星残骸)を $^{12}\text{CO}$ (J=1-0)で観測
- Kesteven79と相互作用する分子と原子を発見し、それらの空間分布がX線、電波のshellと似ている
- 電波、X線のピーク付近では $\text{CO}_3\text{-2}/\text{1-0}$ が0.8以上と高い  
⇒超新星爆発によって暖められた
- SNR(超新星残骸)にまでのkinematic distanceを5.5kpc、SNRの半径が8pcと決めた。
- 宇宙線に含まれる陽子の10%がSNR由来である。
- ガンマ線がハドロン由来であるとすると、1GeV以上の陽子のエネルギーはトータルで、推定 $5 \times 10^{48} \text{ erg}$ である

# Introduction



# Kesteven 79

- (l,b)~(33° 6, 0° 1)
- 超新星残骸
- 電波連續輝線のshellの中にX線のemission
- dynamical ageが推定 $2.7 \times 10^4$ yr  
(距離を7Kpcと仮定)
- 分子雲が付随



VLA

## 先行研究

- 視線速度105km/sの濃い分子雲がKes79と空間的に一致
- 速度範囲20km/sにわたるような幅広い分子雲輝線を確認  
⇒分子雲とshockとの影響か
- ⇒しかし、証拠が少ない



より多くの量のSNR周辺の以下のような星間物質のデータが必要

- (1) shockによって励起されたOH masers
- (2) SNRの衝撃波によるshellを拡張させる星間物質
- (3) より大きなshockによる高温ガス

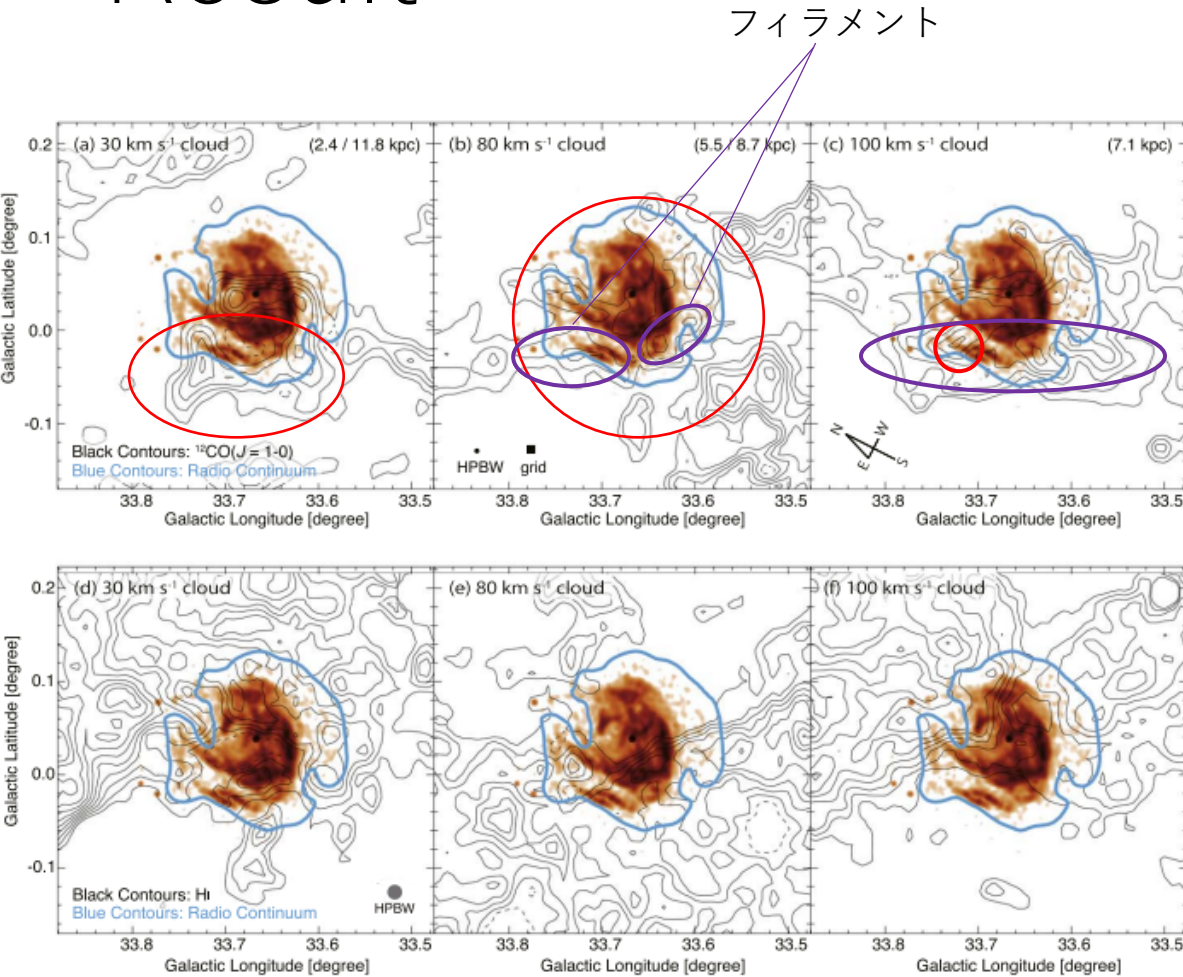
また、分子雲とガンマ線の空間分布も一致  
⇒宇宙線の起源を理解するのに重要



## 本研究の目的

SNRにおけるCR protonのエネルギーを決定するため  
にKes79に付随する星間分子雲や原子ガスを特定する  
観測：12CO(J=1-0) 野辺山45m望遠鏡 FOREST  
アーカイブデータ：X線, H I, 21cm連続輝線

# Result



**Figure 2.** Integrated intensity distributions of  $^{12}\text{CO}(J = 1-0)$  ((a)-(c), black contours) and  $\text{H I}$  ((d)-(f), black contours) superposed with the X-ray image as shown in Figure 1. The velocity range is  $V_{\text{LSR}} = 30.5\text{--}39.5 \text{ km s}^{-1}$  for (a) and (d);  $V_{\text{LSR}} = 82.5\text{--}86.5 \text{ km s}^{-1}$  for (b) and (e); and  $V_{\text{LSR}} = 99.5\text{--}112.5 \text{ km s}^{-1}$  for (c) and (f). The contour levels are every  $3 \text{ K km s}^{-1}$  from  $10 \text{ K km s}^{-1}$  for (a); every  $4 \text{ K km s}^{-1}$  from  $18 \text{ K km s}^{-1}$  for (b); every  $10 \text{ K km s}^{-1}$  from  $60 \text{ K km s}^{-1}$  for (c); every  $30 \text{ K km s}^{-1}$  from  $840 \text{ K km s}^{-1}$  for (d); every  $20 \text{ K km s}^{-1}$  from  $380 \text{ K km s}^{-1}$  for (e); and every  $40 \text{ K km s}^{-1}$  from  $690 \text{ K km s}^{-1}$  for (f). The blue contours indicate the boundary of the radio continuum. The contour level is  $25 \text{ mJy beam}^{-1}$  ( $>45\sigma$ ). The kinematic distances corresponding to the velocity range are indicated in the top right of each panel.

12COに関して(a),(b),(c)

- 30km/s  
クラウドの運動学的距離はnear sideで2.4kpc、far sideで11.8kpc

• 80km/s

- X線shellの南部では、COと逆相関の関係  
X線のdouble-shell-like structures  
クラウドの運動学的距離はnear sideで5.5kpc、far sideで8.7kpc

• 100km/s

- この速度のクラウドがKes79に付随していると考えられてきた  
クラウドの運動学的距離は7.1kpc  
強度が30,80km/sに比べて3,4倍  
 $\Rightarrow$  30,80km/sのクラウドのほうが広がっている

H Iに関して(d),(e),(f)

- 30km/s  
 $\text{H I}$ のshell構造がX線shellと一致

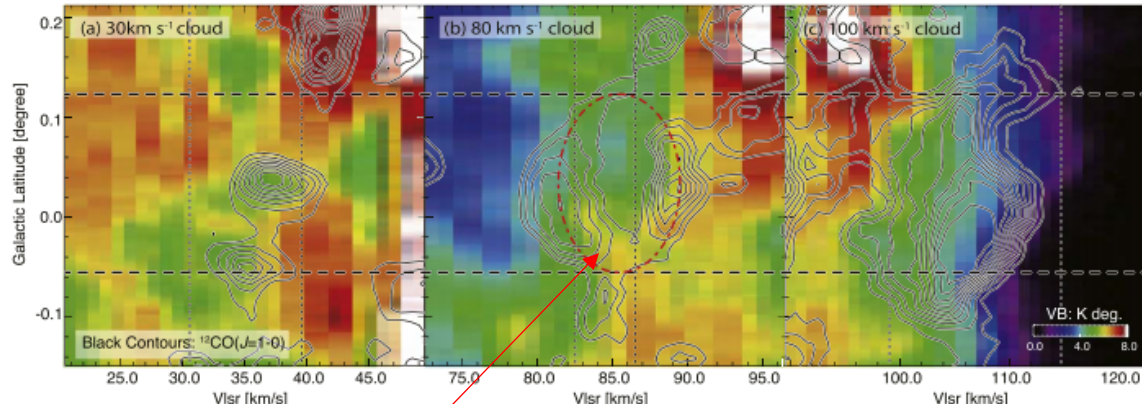
• 80km/s

- 南部、北東ではX線フィラメントの分布と一致

• 100km/s

- $\text{H I}$ は北西部のX線shellとのみ一致  
CO分布をすべてカバー

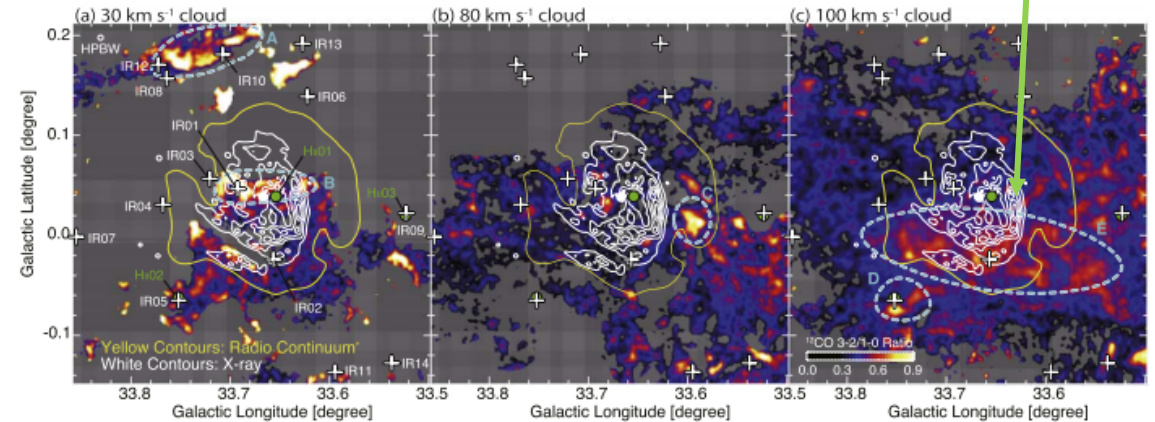
# COとH I のshell構造の広がり



**Figure 3.** Velocity-galactic latitude diagrams of H I superposed on the  $^{12}\text{CO}(J = 1-0)$  contours in (a) the  $30 \text{ km s}^{-1}$  cloud, (b) the  $80 \text{ km s}^{-1}$  cloud, and (c) the  $100 \text{ km s}^{-1}$  cloud. The integrated range of Galactic longitude is from  $33^{\circ}64$  to  $33^{\circ}71$ . The CO contour levels are every  $0.06 \text{ K degree}$  from  $0.1 \text{ K degree}$  for (a) and (c); and every  $0.05 \text{ K degree}$  from  $0.22 \text{ K degree}$  for (b). The vertical and horizontal dashed lines indicate the integrated velocity range and the size of the radio-continuum shell, respectively.

- 30~100km/sにわたって共通の構造はない
- Cavity構造  
⇒電波連続輝線の境界線と一致  
これが**ガスの広がり**を表す証拠か  
(4km/s)

# CO 3-2/1-0 Ratio Map R3-2/1-0>0.6



**Figure 4.** Spatial distribution of the line intensity ratio between  $^{12}\text{CO}(J = 3-2)$  and  $^{12}\text{CO}(J = 1-0)$ . The velocity range is  $V_{\text{LSR}} = 30.5-39.5 \text{ km s}^{-1}$  for (a);  $V_{\text{LSR}} = 82.5-86.5 \text{ km s}^{-1}$  for (b); and  $V_{\text{LSR}} = 99.5-112.5 \text{ km s}^{-1}$  for (c). The superposed contours indicate the X-rays (white) and radio continuum (yellow). The contour levels of the X-rays and radio continuum are the same as those in Figures 1 and 2, respectively. The IRAS point sources and H II regions are indicated by the crosses and circles (see also Table 1). The regions bright in the intensity ratio of  $\text{CO } J = 3-2/1-0$  are enclosed by dashed lines.

- $\text{R3-2/1-0}>0.6$ の場所をA-Eとそれぞれ定義
- $\text{R3-2/1-0}>0.8$ はA,B,Cのみ  
B,Cは電波shellの中にある
- A,B,D,EはH II領域とIRAS point source(赤外線)を含む  
⇒stellar heatingの存在

# Large Velocity Gradient(LVG)解析

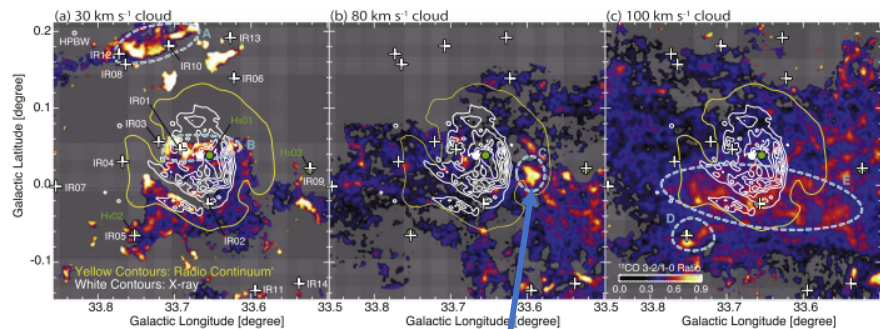


Figure 4. Spatial distribution of the line intensity ratio between  $^{12}\text{CO}(J = 3-2)$  and  $^{12}\text{CO}(J = 1-0)$ . The velocity range is  $V_{\text{LSR}} = 30.5-39.5 \text{ km s}^{-1}$  for (a);  $V_{\text{LSR}} = 82.5-86.5 \text{ km s}^{-1}$  for (b); and  $V_{\text{LSR}} = 99.5-112.5 \text{ km s}^{-1}$  for (c). The superposed contours indicate the X-rays (white) and radio continuum (yellow). The contour levels of the X-rays and radio continuum are the same as those in Figures 1 and 2, respectively. The IRAS point sources and H II regions are indicated by the crosses and circles (see also Table 1). The regions bright in the intensity ratio of CO  $J = -2/1-0$  are enclosed by dashed lines.

周囲に温めるものが無いのに  
R3-2/1-0が高いcloudCについて解析

$$\frac{dv}{dr} = \frac{1.2 \text{ km/s}}{1.2 \text{ pc}} = 1 \text{ km/s} \cdot \text{pc}$$

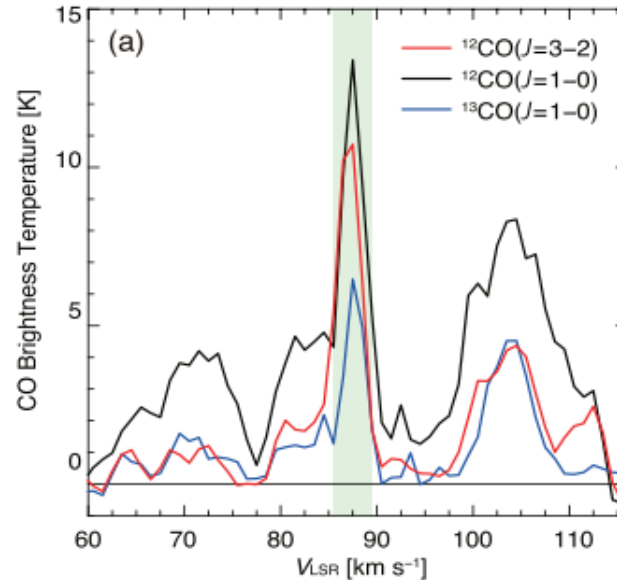
$dv$  : CO輝線の半値幅

$dr$  : cloudCの半径

Kinematic distance=5.5kpc

$[12\text{CO}/\text{H}_2] = 5 \times 10^{-5}$

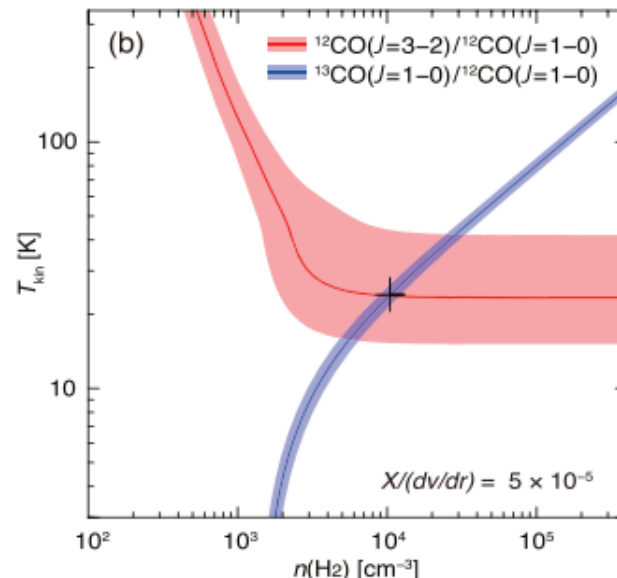
$[12\text{CO}]/[13\text{CO}] = 75$



図(a)より

R3-2/1-0~0.84

$^{12}\text{CO}J=1-0/^{13}\text{CO}J=1-0$   
~0.45



図(b)より

$T_{\text{kin}} \sim 24 \text{ K} (16-42 \text{ K})$

$n(\text{H}_2) \sim 10,000 \text{ cm}^{-3}$   
(6000-30,000 cm⁻³)

Figure 5. (a) CO spectra toward cloud C. The black, red, and blue spectra represent the  $^{12}\text{CO}(J = 1-0)$ ,  $^{12}\text{CO}(J = 3-2)$ , and  $^{13}\text{CO}(J = 1-0)$  emission lines, respectively. (b) LVG results on the number density  $n(\text{H}_2)$  and kinematic temperature  $T_{\text{kin}}$  plane toward cloud C. The red and blue solid lines indicate the intensity ratios of  $^{12}\text{CO}(J = 3-2)/^{12}\text{CO}(J = 1-0)$  and  $^{13}\text{CO}(J = 1-0)/^{12}\text{CO}(J = 1-0)$ , respectively. The cross represents the best-fit values of  $n(\text{H}_2)$  and  $T_{\text{kin}}$  (for details, see the text).

# Discussion① Kes79に付随するcloudは何か？

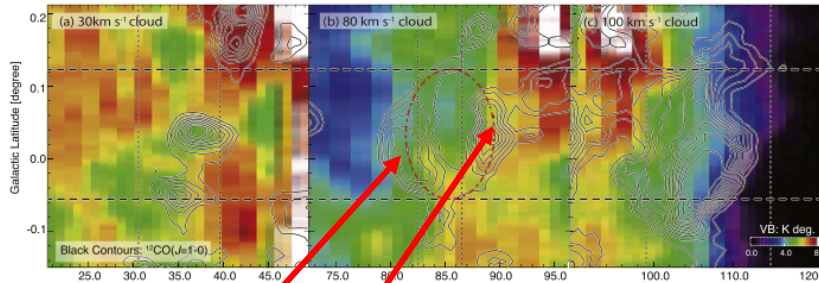
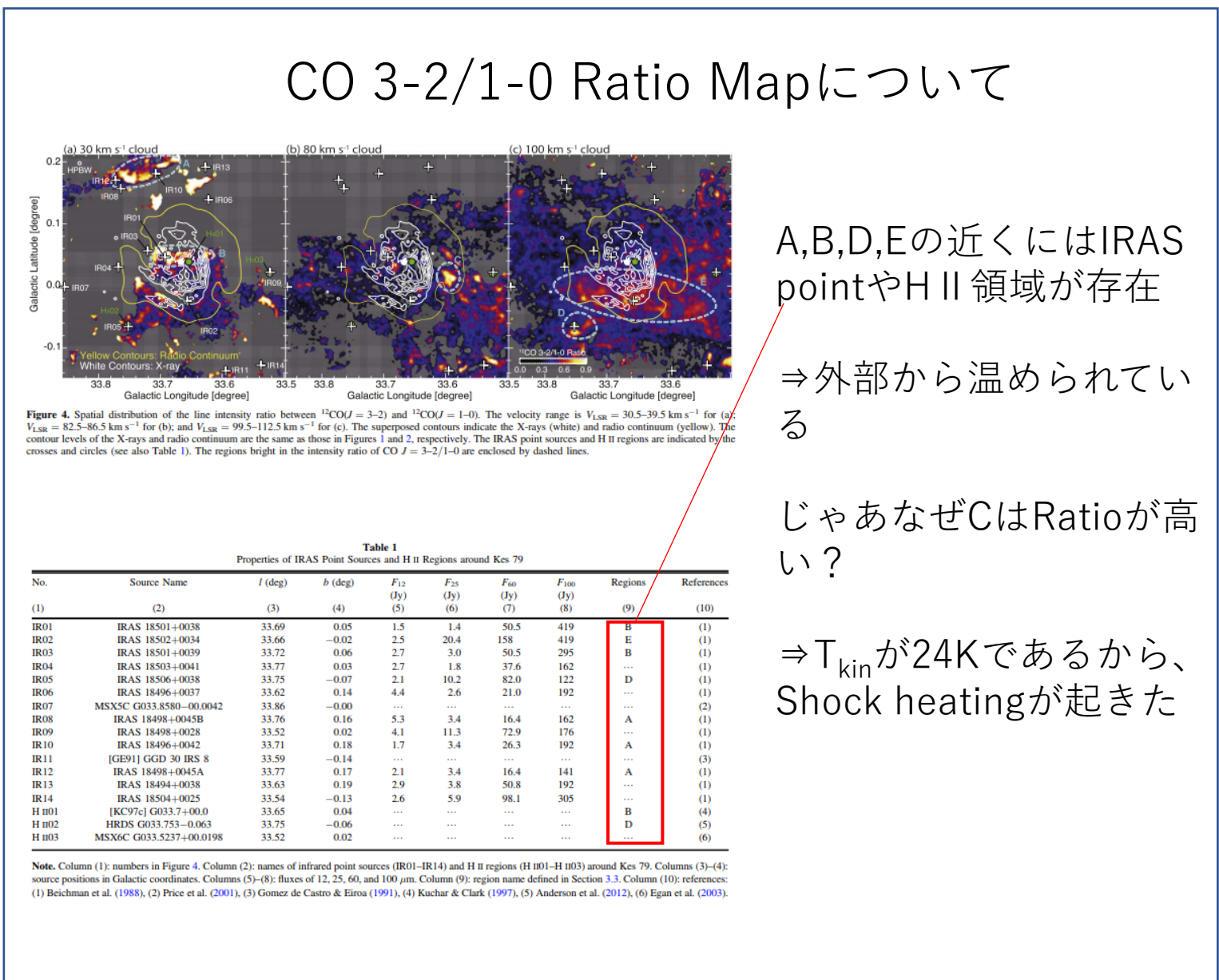


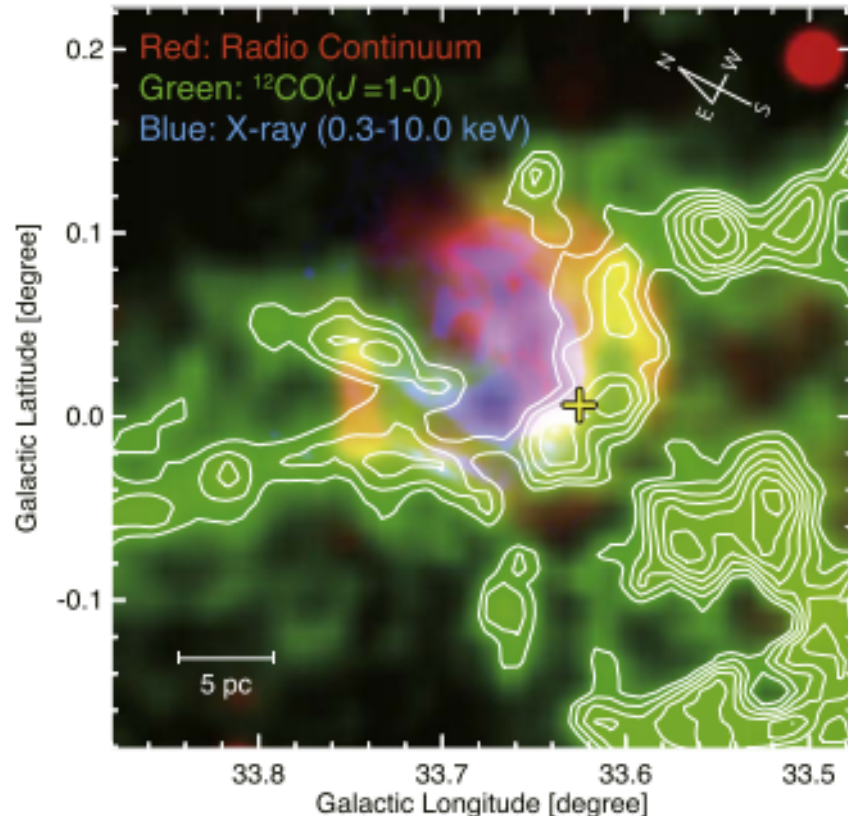
Figure 3. Velocity-galactic latitude diagrams of H I superposed on  $^{12}\text{CO}(J=1-0)$  contours in (a) the  $30 \text{ km s}^{-1}$  cloud, (b) the  $80 \text{ km s}^{-1}$  cloud, and (c) the  $100 \text{ km s}^{-1}$  cloud. The integrated range of Galactic longitude is from  $33^\circ 64$  to  $33^\circ 71$ . The CO contour levels are every  $0.06 \text{ K degree}$  from  $0.1 \text{ K degree}$  for (a) and (c), and every  $0.05 \text{ K degree}$  from  $0.22 \text{ K degree}$  for (b). The vertical and horizontal dashed lines indicate the integrated velocity range and the size of the radio-continuum shell, respectively.

81.5と89.5km/sでピーク  
 $\Rightarrow 85.5 \pm 4 \text{ km/s}$   
 4 km/sでガスが広がっている

典型的な、SNRに付随するガスの拡張速度は7~13km/s  
 $\Rightarrow$ 非常に近い値



# Discussion① Kes79に付随するcloudは何か？



**Figure 6.** RGB image of the SNR Kes 79. The red, green, and blue colors represent the intensity maps of the radio continuum,  $^{12}\text{CO}(J = 1-0)$ , and X-rays. The superposed contours indicate  $^{12}\text{CO}(J = 1-0)$  integrated intensity. The contour levels are every  $3 \text{ K km s}^{-1}$  from  $20 \text{ K km s}^{-1}$ . The integration velocity range of CO is  $V_{\text{LSR}} = 82.5\text{--}86.5 \text{ km s}^{-1}$ . The position of the GeV gamma-ray peak is indicated by the yellow cross (Auchettl et al. 2014).

- 電波連続輝線のshellが南西の二つのCOピークと完全に一致  
⇒shock-cloud interactionの兆候
- cavity wallがX線の空間分布と一致  
また、CIEプラズマがradio shellの外部に向かって広がり、NEIプラズマが内部に集中していることが分かっている  
⇒(1)shockに面したCIEプラズマは高密度ガスのwallとの相互作用で出来た  
(2)shock-cloud interactionによってradio shell内の超新星のejectaを温め、それがNEIプラズマとして観測された

結論： Kes79に付隨するcloudの速度は80km/s

## Discussion② Kes 79の距離と年齢

- 距離について

Galactic rotation curve model(Brand & Britz)

を適用すると

Kinematic distance :  $5.5 \pm 0.3 \text{ kpc}$ (near side)  
 $8.7 \pm 0.3 \text{ kpc}$ (far side)

Kes79に対する吸収柱密度は $1.5 \times 10^{22} \text{ cm}^{-2}$

- near sideを仮定すると

星間ガスの速度分布は $2\text{-}81.5 \text{ km/s}$

$N_p(\text{H}_2 + \text{H I}) = \sim 3 \times 10^{22} \text{ cm}^{-2}$

- far sideを仮定すると

星間ガスの速度分布は $2\text{-}110 \text{ km/s}$

$N_p(\text{H}_2 + \text{H I}) = \sim 6 \times 10^{22} \text{ cm}^{-2}$

よって **near side** の可能性が高い

- Dynamical ageについて

$$t_{age} = \frac{2R_{sh}}{5V_{sh}}$$

$R_{sh}$  : SNRの半径

$V_{sh}$  : shock velocity

$R_{sh} = 8 \text{ pc}$

$V_{sh} = 380 \pm 20 \text{ km/s}$

より

$$T_{age} = 8300 \pm 500 \text{ yr}$$

# Discussion③ Total CR Protons Energy

$$W_{pp}^{tot} \sim t_{pp \rightarrow \pi_0} \times L_\gamma$$

$W_{pp}^{tot}$  : 全CR Protonsエネルギー

$t_{pp \rightarrow \pi_0}$  : 放射冷却時間

$L_\gamma$  : ガンマ線光度

より  $W_{pp}^{tot} \sim 5 \times 10^{48} \text{ erg}$

これは超新星爆発エネルギーの半分相当する

	RX J1713.7-3946 <sup>a</sup>	Vela Jr. <sup>b</sup>	HESS J1731-347 <sup>c</sup>	Kes 79 <sup>d</sup>	W44 <sup>e</sup>
Age (years)	1600	2400	4000	$8300 \pm 500$	20,000
Distance (kpc)	1	0.75	5.2	5.5	3
Diameter (pc)	17.4	11.8	22	16	25
Molecular proton mass ( $10^4 M_\odot$ )	0.9	0.1	5.1	1.7	40
Atomic proton mass ( $10^4 M_\odot$ )	1.1	2.5	1.3	0.2	6
Total proton mass ( $10^4 M_\odot$ )	2.0	2.6	6.4	1.9	46
$N_p(\text{H}_2) (\text{cm}^{-3})$	60	4	64	310	180
$N_p(\text{H I}) (\text{cm}^{-3})$	70	96	16	50	20
$N_p(\text{H}_2 + \text{H I}) (\text{cm}^{-3})$	130	100	80	360	200
$N_p(\text{H}_2)/N_p(\text{H I})$	0.9	0.04	4	6	9
Total CR proton energy ( $10^{48} \text{ erg}$ )	0.4 <sup>f</sup>	0.7	5	5	10

- ・全CR Protonsエネルギーと  $N_p(\text{H}_2)/N_p(\text{H I})$  は時間に比例して大きくなる  
 ⇒ 宇宙線の加速度は時間に比例  
 ⇒ Shockが高密度分子雲にどのくらい伝搬するかは時間変化に影響する

今後より高分解能な観測を行うことによってより良い精度を実現するだろう

# Summary

- 超新星残骸Kes79に付随する分子・原子雲は30,80,100km/sの三つの候補があることを見つけ、電波とX線のshellの空間分布が一致していることが分かった
- 80km/sのクラウドが4 km/sで広がり、それらはSNR shockと超新星爆発のprogenitorからの強い風によって生まれ、その中のcloudCは高いCO3-2/1-0を示し、shockとの相互作用によってT<sub>kin</sub>が24Kであり、結局80km/sのクラウドがKes79に付随しているとした
- 吸収柱密度から運動学的距離が5.5kpc、dynamical ageが $8300 \pm 500$ yrであるとした
- 全体のCR protonエネルギーが $5 \times 10^{48}$ ergであり、それが超新星爆発の全運動エネルギーの半分であることを計算し、それとN<sub>p</sub>(H<sub>2</sub>)/N<sub>p</sub>(H I)が時間的に増加することが分かり、宇宙線の加速度やshockの伝搬が時間的に増加することが分かった